Werk

Label: Table of literature references

Jahr: 1931

PURL: https://resolver.sub.uni-goettingen.de/purl?251726223_0016|log22

Kontakt/Contact

Digizeitschriften e.V.
SUB Göttingen
Platz der Göttinger Sieben 1
37073 Göttingen

info@digizeitschriften.de

Literaturverzeichnis.

ARANZAZU, J. M.: Apuntes para una descripción físico-geológica de las provincias de Burgos, Logroño, Soria y Guadalajara. — Bol. Mapa Geol. Esp., **4**, S. 1—47. Madrid 1877.

BARROIS, CH.: Recherches sur les terrains anciens des Asturies et de la Galice. — Mém. Soc. Géol. Nord, **2**, Lille 1882.

BERTRAND, LÉON: Sur la structure des Pyrénées cantabriques entre Santander et Llanes et leurs relations probables avec les Pyrénées. — Bull. Soc. Géol. France, **12**, S. 504. 1912.

— & MENGAUD: Sur l'existence de plusieurs nappes superposées dans la Cordillère cantabrique entre Santander et Llanes. — C. R. Acad. Sci., **155**, S. 727. 1912.

BOULE, M., LÉMOINE, P. & THEVENIN: Cephalopodes de Diégo-Suarez. — Ann. Paléontol., **2**, S. 45. 1907.

CAREZ: Etudes des terrains crétacés et tertiaires du nord de l'Espagne. — Thèse de doctorat, Paris, 327 S., 8 Taf., 2 Kart., 72 Abb. 1881.

DEREIMS, A.: Recherches géologiques dans le sud de l'Aragon. — Thèse Fac. Sci. Paris. Lille 1898.

DOUVILLÉ, R.: La Péninsule Ibérique; — Espagne. — Handb. Reg. Geol., **3**, 3. Heidelberg 1911.

FALLOT, P. & BATALLER, R.: Sur l'allure d'ensemble et sur l'âge des plissements dans les montagnes du Bas-Aragon et du Maestrazgo (Espagne). — C. R. Acad. Sci. Paris, **182**, S. 398. Paris 1926. — [1926a.]

— : Sur la tectonique des montagnes entre Montalban et le littoral de la province de Castellon (Espagne). — C. R. Acad. Sci. Paris, **182**, S. 275. Paris 1926. — [1926b.]

GRANDE, JOSÉ: Minas de carbón de las inmediaciones de Burgos. — Revista minera, **1**, S. 120—123. 1850.

DE GROSSOUVRE, A.: Les ammonites de la Craie supérieure de la France, S. 90, Taf. 15, Fig. 1—2. Paris 1894.

HAHNE, C.: Stratigraphische und tektonische Untersuchungen in den Provinzen Teruel, Castellon und Tarragona (Spanien). — Z. Deutsch. Geol. Ges., **82**, 79 ff. Berlin 1930.

HERNÁNDEZ-PACHECO, E.: Le cambrien de la Sierra de Córdoba. — C. R. Acad. Sci. France, **166**, S. 611. Paris 1918.

— : La Sierra Morena et la Plaine Bétique. — XIV. Congr. Géol. Internat., Livre guides. Madrid 1926.

JOLY, HENRY: Etudes géologiques sur la chaîne celtibérique. — C. R. XIV Congr. Geol. Internat. España. Madrid 1927.

KOBER, L.: Der Bau der Alpen. Berlin 1921.

KOKEN: Gastropoden des süddeutschen Muschelkalkes. Straßburg 1898.

KOSSMAT, F.: Die mediterranen Kettengebirge in ihrer Beziehung zum Gleichgewichtszustand der Erdrinde. — Abh. Math.-phys. Kl. Sächs. Akad. Wiss., **38**, II. 1921.

LARRAZET, M.: Recherches géologiques sur la région orientale de la province de Burgos et sur quelques points des provinces d'Alava et de Logroño. — Thèse Fac. Paris. Lille 1896.

LOTZE, FR.: Uber Analogien zwischen den Faziesverhältnissen des Tertiärbeckens von Calatayud (Spanien) und des deutschen Zechsteinbeckens. — Z. deutsch. Geol. Ges., **80**, Monatsber. S. 151—158. Berlin 1928.

— : Stratigraphie und Tektonik des keltiberischen Grundgebirges (Spanien). — Abh. Ges. Wiss. Göttingen, Math.-Phys. Kl., N. F., **14**, 2. Berlin 1929.

MACPHERSON: Sobre la existencia de la fauna primordial en la provincia de Sevilla. — Bol. Com. Mapa geol. España, **7**, S. 281—284. Madrid 1880.

MENGAUD, L.: Recherches géologiques dans la région cantabrique. — Toulouse 1920.

PAQUIER: Recherches géologiques dans le Diois ... — Grenoble 1900.

PATAC, I.: La formacion uraliense asturiana. — Gijón 1920.

PELLICO, RAMÓN: Minas de carbón en Castilla la Vieja. — Revista minera, **3**, S. 706. 1852.

RICHTER, GERH.: Die Iberischen Ketten zwischen Jalón und Demanda. — Abh. Ges. Wiss. Göttingen, Math.-Phys. Kl., N. F., **16**, 3. Berlin 1930. (Im Druck.)

ROYO Y GOMEZ: Edad de las formaciones yesíferas del Terciario Ibérico. — Bol. Real Soc. Esp. hist. nat., **27**. 1926. — [1926 a.]

— : Tertiaire Continental de Burgos X. — XIV. Congr. géol. Internat., Excursion A 6. Madrid 1926. — [1926 b.]

SCHLÜTER, CL.: Beitrag zur Kenntnis der jüngsten Ammoneen Norddeutschlands. 1867.

SCHRIEL, W.: Der geologische Bau des Katalonischen Küstengebirges zwischen Ebromündung und Ampurdan. — Abh. Ges. Wiss. Göttingen, Math.-Phys. Kl., N. F., **14**, 1. Berlin 1929.

STAUB, R.: Gedanken zur Tektonik Spaniens. — Vjschr. Naturf. Ges. Zürich, **21**. 1926.

STILLE, H.: Der Stammbaum der Gebirge und Vorländer. — C. R. Int. Geol. Kongr. 1926, **4**, S. 1749 ff. Madrid 1926.

— : Über westmediterrane Gebirgszusammenhänge. — Abh. Ges. Wiss. Göttingen, Math.-Phys. Kl., **12**, 3. Berlin 1927.

SUESS, E.: Das Antlitz der Erde, 2, S. 140—142. Wien 1888.

TERMIER, P.: Sur la structure géologique de la Cordillère cantabrique dans la province de Santander. — C. R. Acad. Sci., **141**, S. 920. Paris 1905.

— : Les Problèmes de la Géologie tectonique dans la Méditerranée occidentale. — Rev. gen. Sci. Paris 1911.

TRICALINOS, J.: Untersuchungen über den Bau der celtiberischen Ketten des nordöstlichen Spanien. — Z. deutsch. geol. Ges., **80**, S. 455. Berlin 1928.

DE VERNEUIL & COLLOMB: Coup d'oeil sur la constitution géologique de quelques Provinces de l'Espagne. — Bull. Soc. Géol. France, 1852—53.

DE YARZA: Descripción física de la provincia de Alava. — Mem. Com. Mapa Geol. Esp. Madrid 1885.

ZUAZNAVAR: Algunos datos de la cuenca carbonífera de Juarros en la provincia de Burgos. — Bol. Com. Mapa Geol. Esp., **3**. Madrid 1876.

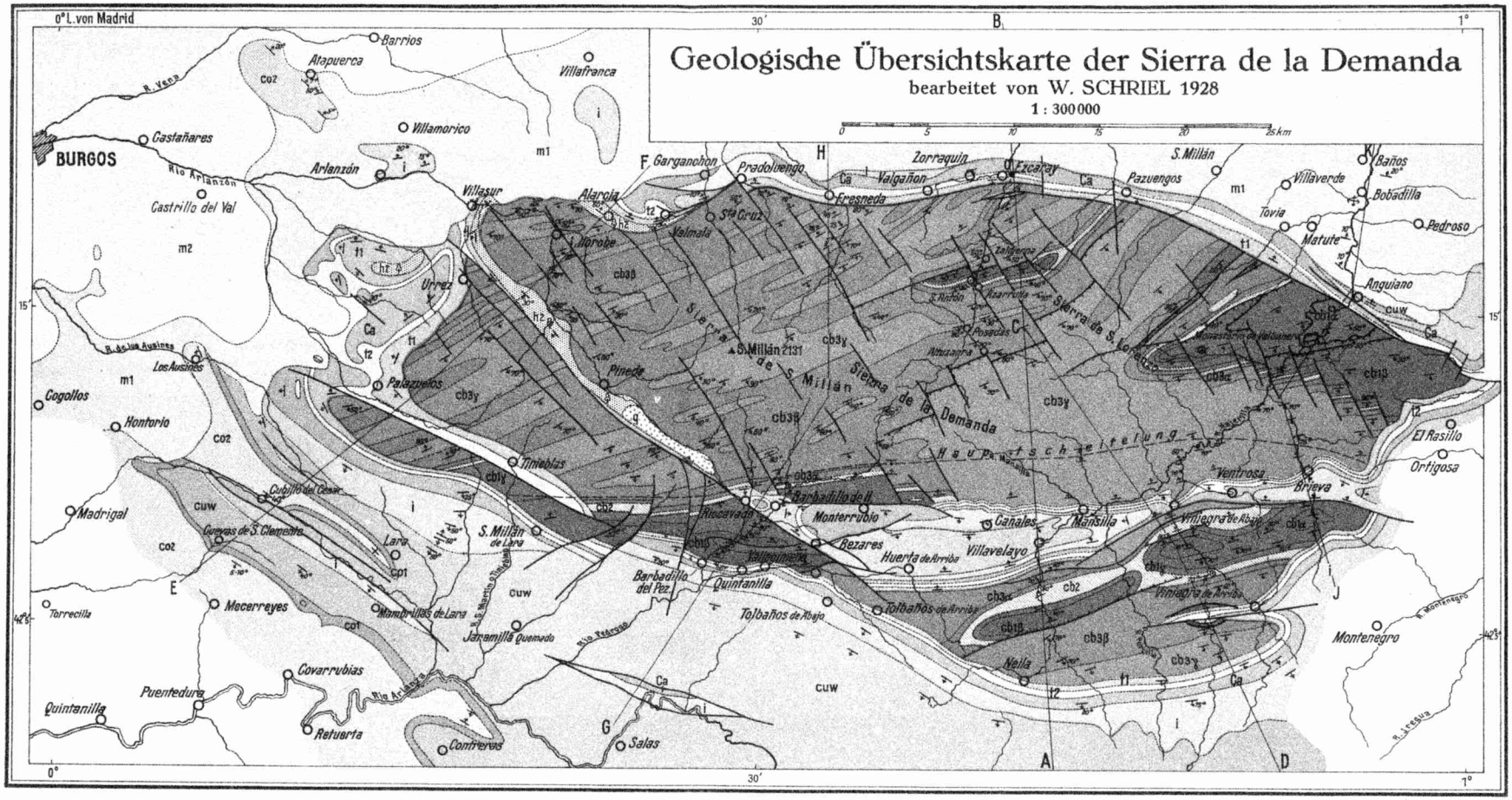

Diluvium: q

Tertiär: m2 Miozän; m1 Oligozän

Obere Kreide: co2 Turon-Senon; co1 Cenoman; cuw Wealden

Jura: i

Jura-Ober. Trias: Ca Carniolas

Trias: t2 Keuper, z. T. auch Muschelkalk; t1 Buntsandstein

Ob. Oberkarbon: h2 Stephanium (Ottweiler Schicht.)

Oberes Cambrium: cb3γ Graue Quarzite u. Quarzitschiefer; cb3β Graue sandige Tonschiefer; cb3α Grüne Tonschiefer mit Lingulilden

Mittl. Cambrium Paradoxides-Schicht.: cb2 Grüne u. violette Schiefer mit dunkelgrauen, verwittert rostbraunen Kalkbänken

Unteres Cambrium: cb1γ Grüne u. violette bankige Quarzite, Grauw. u. Schiefer in gleicher Farbe; cb1β Dickbankige Quarzite, an der Basis konglomeratisch; cb1α Grüne, z. T. auch schwarze, seidig glänzende Tonschiefer

Eruptivgestein: •O Ophiolith als Einlagerung im Keuper

A B Profillinien

Tierische Pflanzliche Versteinerungen im Paläozoikum

Flache deckenartige Überschiebung

Verwerfungen jüngeren, vorw. saxon. Alters

Streichen u. Fallen

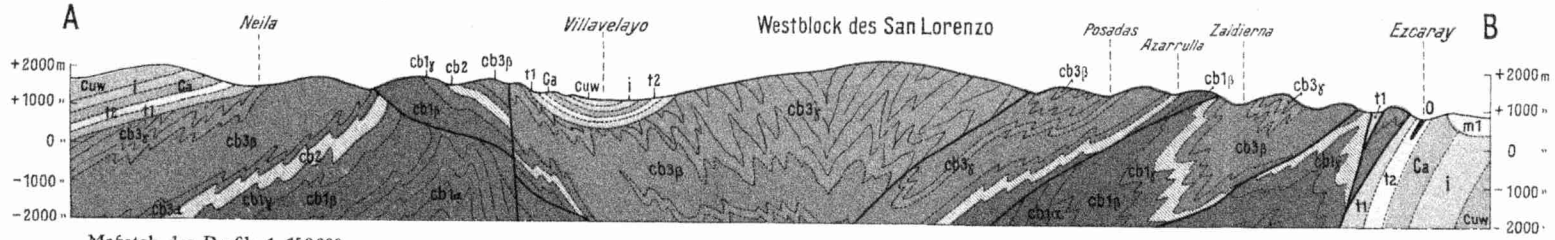

Maßstab des Profils 1:150000

Die Profile C--K befinden sich auf Tafel 2

Profile durch die Sierra de la Demanda

Maßstab 1 : 150000

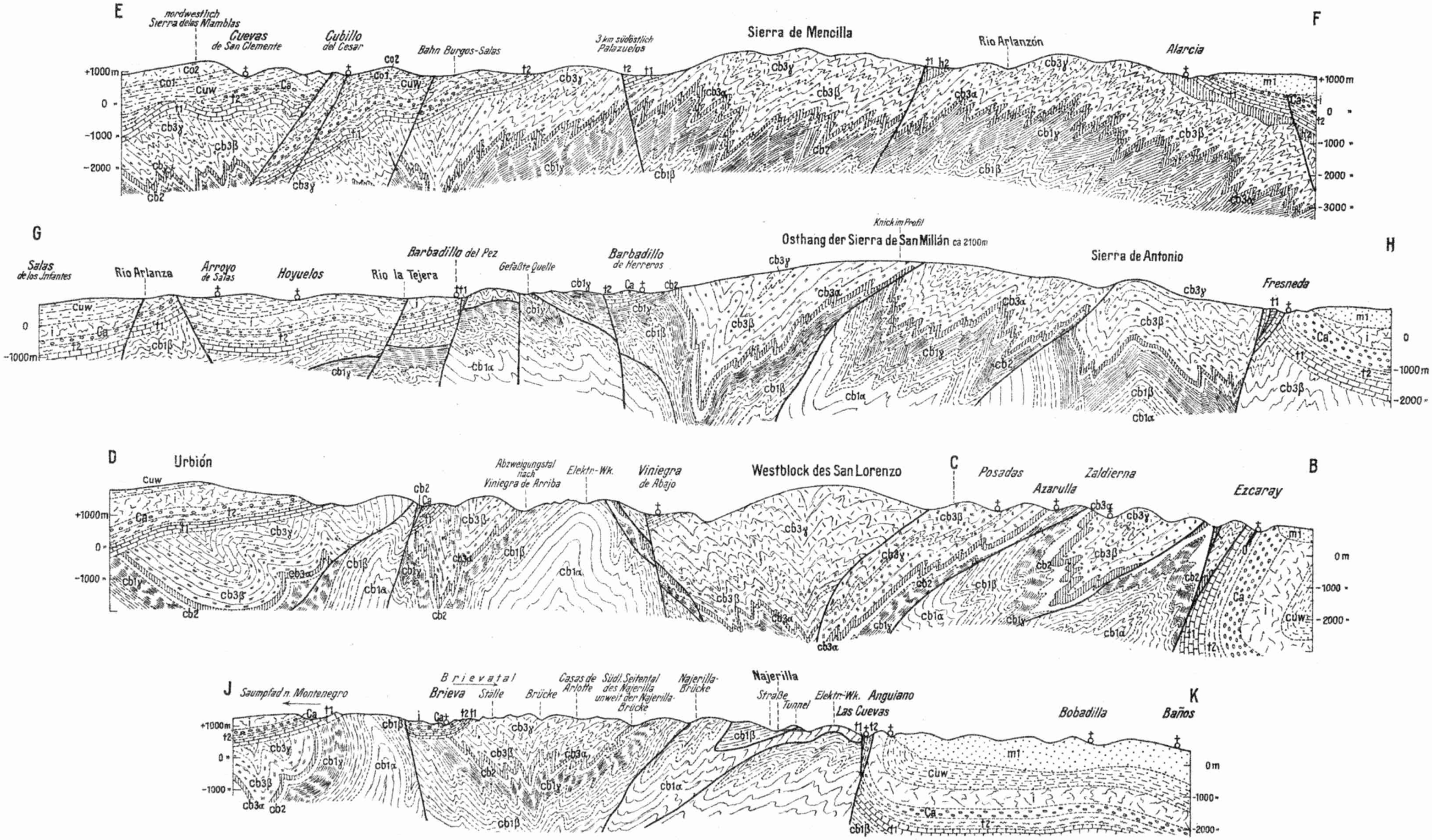

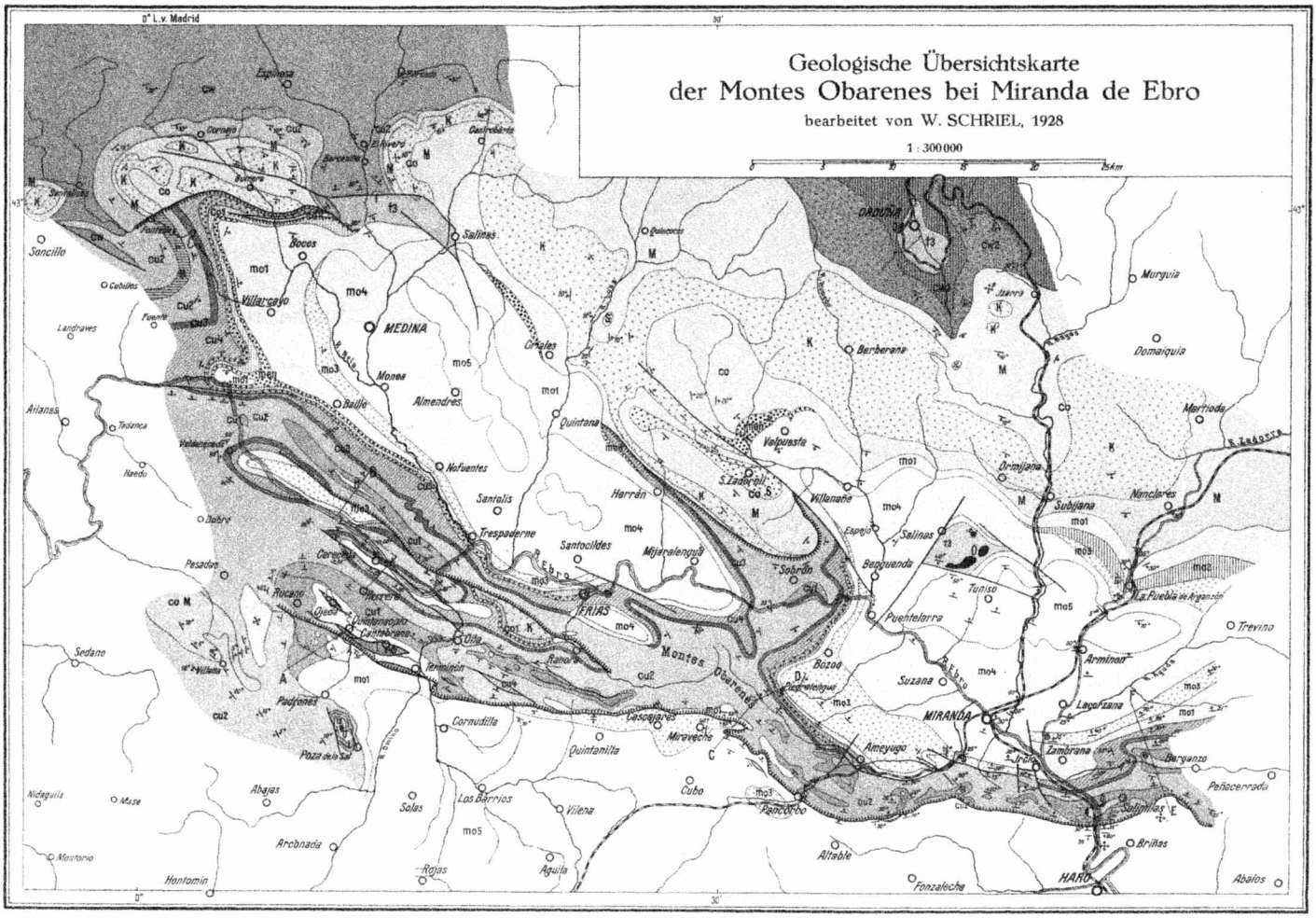
Geologische Übersichtskarte
der Montes Obarenes bei Miranda de Ebro
bearbeitet von W. SCHRIEL, 1928
1 : 300000
0° L.v. Madrid
30'
43°
0°
Sancillo
Bocos
Salinas
MEDINA
Villarcayo
Moneo
Almendres
Quintana
Nefuentes
Santolis
Trespaderne
Santocildes
Herrán
Mijarolenguas
Sobrón
FRIAS
Montes Obarenes
Valpuesta
Villanueva
Espejo
Berberana
Bozoo
Suzana
MIRANDA
Ameyugo
Zambrana
Arminon
Lacorzana
Puentelarra
Bequeanda
Tuniso
Subijana
Nanclares
Drimijana
Domaiquia
Murguia
Martioda
Trevino
Berganzo
Peñacerrado
Briñas
HARO
Abalos
Fonzaleche
Altable
Pancorbo
Cubo
Miravecha
Quintanilla
Corrudilla
Los Barrios
Vilena
Rojas
Aguila
Solas
Arcinada
Abajas
Nidaguila
Masa
Montorio
Hontomin
Padrones
Pesados
Sedano
Rucalis
Oiedo
Tobera
Tarlanes de los Montes
Ebro
Herrera
Quintanaopio
Quintanilla
Hozabejas
Absatz im Profil
Montes Obarenes
Straße Obarenes-Cubilla
Piedrelengua
Knick im Profil
Weg nach Berganzo
Rio Jugleres
Absatz Prof. Castell
S. de Portilla
Portilla
Tertiär
Miocän
mo5 Hangende Konglomerate
mo4 Graubraune Sandsteine, Letten, Mergel u. Gipse
mo3 Helle Kalke u. Mergel
mo2 Sandstein
mo1 Liegende Konglomerate
Eocän
men Nummulitenkalk
Obere Kreide
Senon-Cenom.
Co Kalke (K), Mergel (M) u. Sande (S)
Basalschichten
co1 Konglomerate u. rote Sandsteine
Untere Kreide
Albien
cu5 Bunte Letten
Apt-
cu4 Rotkalkhorizont
Urgonschichten-Barrem
cu3 Grenzmergel
cu2 Fester heller Kalk mit Orbitulinen. M-Hauptmergelbank
Hauterive-Valendis
cu1 Rote u. gelbe Sande u. Kiese (z. Tauch Wealden)
Wealden
cw2 Dickbankige feste graue Kalke
cw1 Dünnbankige Kalke, Mergel u. Letten a. d. Basis Sandsteine
cw Kalke, Mergel, Letten u. Sandsteine ungegliedert
Utrillas-Schichten
Vielleicht Unt. Kreide (marin)
Jura
j Kalke u. Mergel
Trias
Keuper
t3 Rote Letten m. Einlagerungen von Salz u. bips. Or Ophnolith
Buntsandstein
t1 Rote Sandsteine u. Konglomerate
Palaeozoikum
Nur im Profil
Profillinien
Fossilfundpunkte & Streichen u. Fallen
Verwerfungen
Überschiebung oder Decke
1500m
1000
500
0
500
Mafstab der Profile 1 : 75000

Bilder aus der Sierra de la Demanda.

Abb. 1. Phot. Schmiel

Blick auf den ca. 2000 m hohen Hauptkamm der Sierra de la Demanda von der Eremitage „de la Soledad" aus.

Abb. 2. Phot. Richter

Brücke über den Hauptfluß der Sierra de la Demanda, die Najerilla, bei Hospital de Ventrosa.

Bilder aus der Sierra de la Demanda.

Abb. 1.
Steil gestellte Juraschichten bei Anguiano, Nordabbruch der Sierra de la Demanda.

Phot. Schriel.

Abb. 2. Phot. Schriel.

Überschiebung des unterkambrischen Bámbolaquarzites (cb1β) auf Ober- und Mittelkambrium (cb3α und cb2) an der Straße von Barbadillo de Herreros nach Barbadillo del Pez (vgl. Taf. 2, Profil G—H).

Bilder aus der Sierra de la Demanda.

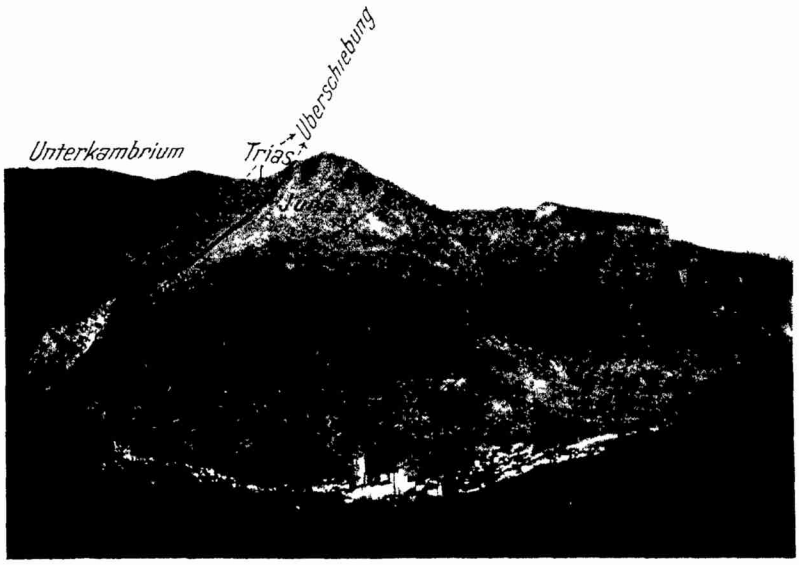

Abb. 1. Phot. Richter.

Blick auf Anguiano und den Nordabbruch der Sierra de la Demanda.

Unterkambrium ist auf Trias überschoben. Die Trias ist gegen Oberen Jura verworfen. Steilstehender Wealden transgrediert auf gleichfalls steilstehendem, z. T. überkipptem Jura, während Jungtertiär sich in flachem Anlager am Wealden befindet.

Bilder aus den Montes Obarenes.

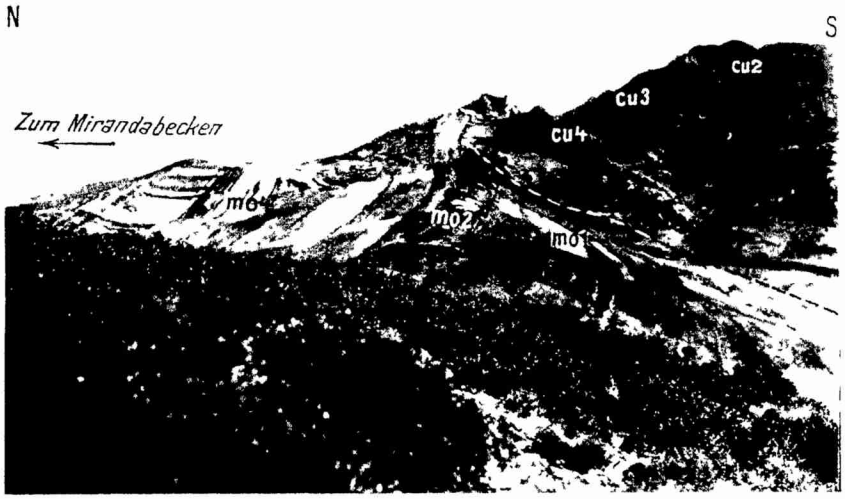

Abb. 1. Phot. Schriel

Blick auf den Nordhang der Sierra de Portilla.
Steilgestellte Kreide- und Tertiärschichten gehen nach Norden zum Becken von Miranda zu in immer flachere Lagerung über.

Abb. 2.
Steilgestellter Unterkreidekalk am Nordhang der Sierra de Portilla.

Phot. Schriel

Bilder aus den Montes Obarenes.

Abb. 1. Phot. Schriel.

Die südliche Hauptüberschiebung bei Pancorbo.

Einfach liegender Sattel von Urgonschichten (cu2) mit sandiger Unterkreide im Kern (cu1) ist auf Miozän (mo4) überschoben.

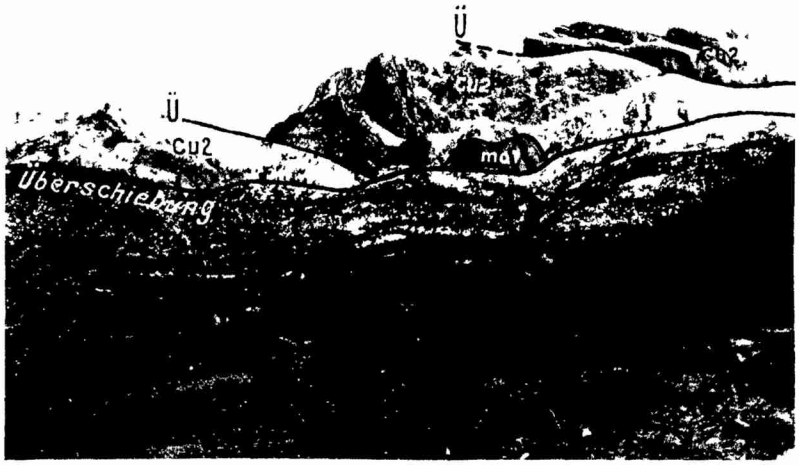

Abb. 2. Phot. Schriel.

Die südliche Hauptüberschiebung bei Labastida.

Die mächtigen Urgonkalke der Sierra de Toloño (cu2) sind auf Jungtertiär (mo1) des Ebrobeckens überschoben worden. An der Überschiebung liegen Reste tertiärer Basiskonglomerate (mo1) als Schubfetzen über dem Jungtertiär. Die überschobene Urgondecke selbst ist in drei Spezialdecken gegliedert (Ü = Überschiebung).

Bilder aus den Montes Obarenes.

Abb. 1. Phot. Schiel.

Klotzige Urgonkalke (cu2).

Wasserfall südlich Frias.